



## El Delta T ( $\Delta T$ ) como indicador del ambiente meteorológico para pulverizaciones.

Ing. Agr. MSc. Luis A. Carrancio<sup>1</sup>; Ing. Agr. Rubén A. Massaro<sup>2</sup>

1 Profesional de INTA EEA Oliveros. 2 Profesional Grupo Desarrollo Rural, INTA EEA Oliveros



Palabras clave: plaguicidas, pulverización, deriva, Delta T.

La caracterización del ambiente meteorológico es fundamental para la decisión de realizar aplicaciones de plaguicidas mediante la pulverización en base acuosa.

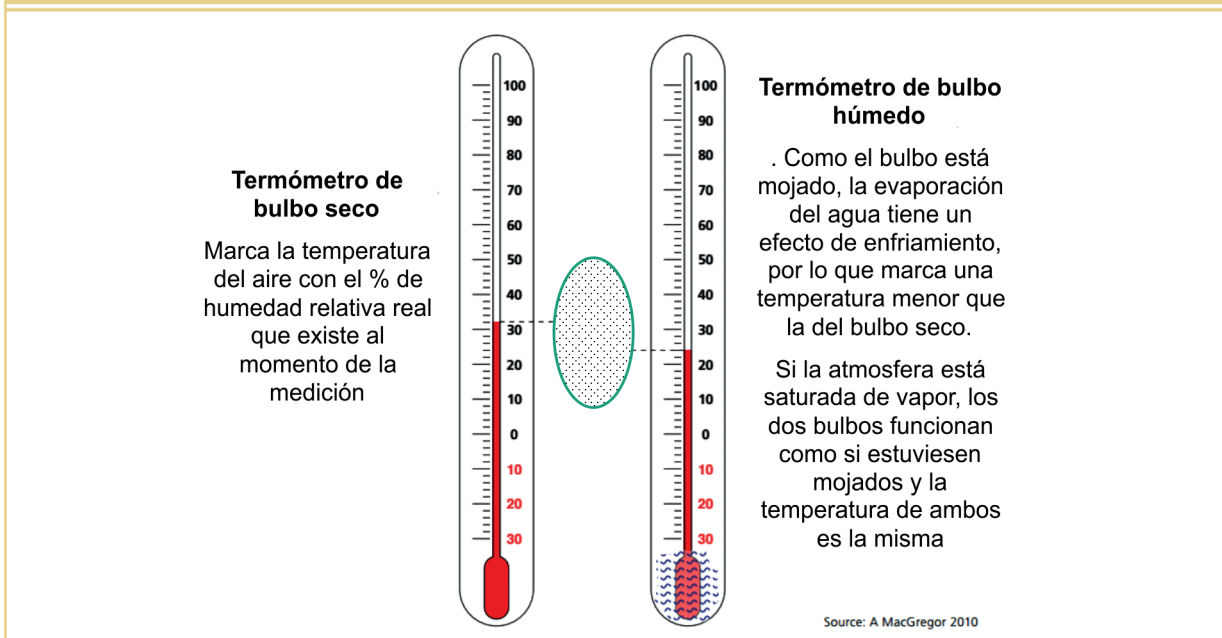
Tal es así que, junto al dato de tamaño de gota, siempre se recomienda conocer velocidad y dirección del viento, temperatura, humedad relativa, punto de rocío, incluso probabilidad de precipitaciones, entre otras. (Carrancio, *et al*, 2015).

Un indicador, aun poco difundido en nuestro país es el denominado Delta T ( $\Delta T$ ) o Delta Temperatura, el cual es utilizado desde hace más de diez años en países como EEUU, Canadá, Australia y Nueva Zelanda principalmente (Agriculture Victoria, 2017; Australian Government, 2017; Peter Hughes, 2008).

Este indicador es un estimador confiable y eficiente de la cantidad de vapor que la atmósfera puede absorber a una temperatura dada. Desde el punto de vista agronómico, y específicamente de la deriva, está directamente ligado al potencial de evaporación del agua de la gota pulverizada. Otro aspecto impor-

F1

Figura 1. Par Psicrométrico.





F2

Figura 2. Instrumento manual para medición de variables meteorológicas (Kestrel, 2017).



1. ANKE3500DT
2. ANEMÓMETRO
3. TERMÓMETRO
4. HIGRÓMETRO
5. BARÓMETRO
6. ALTÍMETRO
7.  $\Delta T$



tante es la relación existente con el estrés vegetal y éste con la penetración de plaguicidas que actúan con diferentes grados de sistema.

Se define como  $\Delta T$  a la diferencia entre la temperatura del termómetro de bulbo seco y la temperatura del termómetro de bulbo húmedo, registrada por el Par Psicrométrico, medida en grados Celsius ( $^{\circ}C$ ), para nuestro medio (Figura 1).

Aunque la forma más tradicional de calcularlo es la mencionada, en la práctica se lo puede hacer a partir de datos locales de temperatura y humedad relativa mediante una Tabla Psicrométrica (Tabla 1), gráfico de curvas de  $\Delta T$  (Figura 3) o por lectura directa en aparatos meteorológicos específicos que lo calculan instantáneamente (Figura 2).

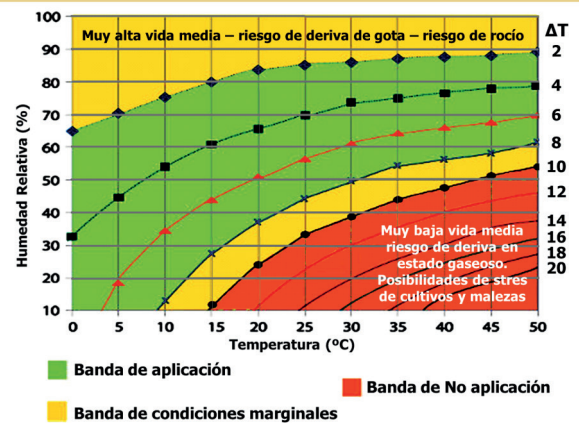
El  $\Delta T$ , cuando está definido por la relación de temperatura y humedad relativa, puede ser influenciado por la velocidad del viento: a mayor velocidad más evaporación. El efecto del viento está contemplado en el caso del cálculo del  $\Delta T$  mediante el Par Psicrométrico, dado que este último toma condiciones reales de ambas temperaturas.

Idealmente los valores de  $\Delta T$  apropiados para pulverizar plaguicidas deben estar entre 2 y 8, y nunca más de 10.

Los valores bajos de  $\Delta T$ , menores a 2, prolongan la vida media de las gotas en estado líquido, lo que puede aumentar el riesgo de deriva de la pulverización a mayor distancia antes que se evapore el agua

F3

Figura 3. Curvas de  $\Delta T$  en función de humedad relativa y temperatura.



Adaptado de:  
<http://agriculture.vic.gov.au/agriculture/farm-management/chemical-use/publications/a-guide-to-using-agricultural-chemicals-in-victoria>

de las mismas. También, con valores próximos a 0, hay riesgo de rocío (Graemer Tepper, 2017).

Valores elevados de  $\Delta T$ , superiores a 8, indican altas tasas de evaporación del agua y una baja supervivencia de las gotas, causando dispersión de vapor o aumentando la flotabilidad de las mismas por disminución del diámetro. En estas situaciones se puede agregar la alta probabilidad que, tanto cultivos como malezas, presenten estrés hídrico (Australian Government, 2017).

Los valores de temperatura y humedad relativa por si solos y separados, no alcanzan para caracte-



Tabla 1. Tabla Psicrométrica.

°C	0	0,5	1	1,5	2	2,5	3	3,5	4	4,5	5	5,5	6	6,5	7	7,5	8	8,5	9	9,5	10	
1	100	90	81	72																		
2	100	90	82	73	64																	
3	100	90	82	74	66	63	50															
4	100	91	83	75	67	60	52	44														
5	100	91	84	76	69	61	53	46	39													
6	100	92	86	77	70	63	56	48	42	36												
7	100	92	86	78	71	64	57	50	44	38	33											
8	100	92	86	78	72	66	59	52	46	40	34	28										
9	100	93	86	79	73	67	61	54	48	42	35	31	26									
10	100	94	87	80	74	68	62	56	50	44	39	34	28	23								
11	100	94	87	81	75	69	63	57	51	46	41	36	30	25	20							
12	100	94	88	82	76	70	63	59	54	48	43	38	33	29	23	18						
13	100	94	88	82	77	71	65	60	55	50	46	40	33	31	26	21	17					
14	100	94	88	83	78	72	67	62	57	52	47	42	37	33	28	23	19	18				
15	100	94	88	83	79	73	68	63	58	55	48	43	39	35	30	25	21	19	16			
16	100	95	88	84	80	74	69	64	59	56	50	46	41	37	32	27	23	19	18	14		
17	100	95	90	85	80	75	70	65	60	56	52	48	43	38	33	29	26	22	17	16	15	
18	100	95	90	85	80	76	70	65	61	57	53	49	44	40	36	32	28	24	20	19	17	
19	100	95	90	85	80	76	71	66	62	58	54	50	46	42	38	34	31	27	25	22	19	
20	100	95	90	85	81	76	72	68	64	60	56	52	48	44	40	36	33	29	26	22	19	
21	100	96	90	86	82	77	73	69	65	61	57	53	49	45	41	38	34	31	27	24	21	
22	100	96	90	86	83	77	73	69	66	61	58	54	50	47	43	40	36	32	29	26	23	
23	100	96	91	87	83	78	74	70	67	62	59	55	52	48	44	41	37	34	31	28	25	
24	100	96	91	87	83	78	74	70	68	63	60	56	53	50	45	43	39	36	33	30	27	
25	100	96	91	87	83	79	75	71	69	64	61	57	54	51	47	44	41	38	35	32	29	
26	100	96	92	87	83	80	76	72	70	65	62	58	56	52	48	45	42	39	36	33	31	
27	100	96	92	88	84	81	77	72	71	66	62	59	56	53	49	46	43	40	37	35	33	
28	100	96	93	88	85	81	77	73	71	66	63	60	57	54	50	47	44	41	39	37	36	
29	100	96	93	89	85	82	78	74	72	68	64	61	58	55	52	48	45	42	40	38	36	
30	100	96	93	89	85	82	78	74	72	68	65	62	59	55	52	49	46	43	41	39	37	
31	100	96	93	89	86	82	79	75	73	68	66	63	60	57	54	49	47	44	42	40	38	
32	100	96	93	89	86	83	79	76	73	69	66	63	60	58	55	50	49	45	43	41	39	
33	100	96	93	90	86	83	79	76	74	70	67	64	61	59	56	52	50	46	44	42	40	
34	100	96	93	90	87	83	80	76	74	70	67	65	62	59	57	53	50	47	45	43	41	
35	100	96	94	90	87	83	80	77	75	71	68	65	63	60	58	54	51	48	46	44	42	
36	100	96	94	90	87	83	80	77	76	71	68	66	63	61	58	54	52	49	47	45	43	
37	100	97	94	90	87	84	81	78	76	72	69	66	64	61	59	55	53	50	48	46	44	
38	100	97	94	91	87	84	81	78	76	72	70	67	64	62	59	56	54	51	49	47	45	
39	100	97	94	91	87	84	82	78	76	73	70	67	66	63	60	56	55	52	50	48	46	
40	100	97	94	91	88	84	82	79	76	73	71	68	66	63	61	58	56	53	51	49	47	

rizar correctamente al ambiente meteorológico, dado que la capacidad máxima de la atmosfera de retener vapor puede ser diferente aún con igual humedad relativa pero con diferentes temperaturas.

Por ejemplo, el aire que está con una HR = 40 % a una temperatura de 20 °C ( $\Delta T=7$ ) posee 5,78 gr de agua/kg de aire seco y potencialmente puede absorber 8,89 gr de agua/kg de aire seco más, hasta saturarse (100 % HR). El mismo aire con HR=40% a una temperatura de 30°C ( $\Delta T=9$ ) posee 10,59 gr de agua/kg de aire seco y potencialmente puede absorber 15,87 gr de agua/kg de aire seco más, hasta saturarse; es decir 6,98 gr de agua/kg de aire seco

más que en el caso anterior. Por lo que a la misma humedad relativa pero por diferencia de temperatura, el potencial de evaporación del aire más caliente aumenta un 77 % respecto del más frío (Tabla 2).

Matthews, G.A. (1988), generó una formula mediante la cual se puede calcular la Vida Media de una gota en segundos, a partir del diámetro de la misma y el  $\Delta T$ .

$$\frac{(\text{Diámetro de la gota en } \mu\text{m})^2}{80 \times (\Delta T)}$$



Johnstone & Johnstone (1977) (en Matthews, G.A., 1988) ya recomendaban suspender las aplicaciones para volúmenes menores a 50 lt/ha, cuando la Vida Media de la gota es menor o igual a 62 segundos. Y para volúmenes superiores a 50 lt/ha., cuando la Vida Media de la gota es menor o igual a 30 segundos (Tabla 3).

Junto con la evaluación de la Vida Media de la gota, a partir del  $\Delta T$  (Figura 4 y 5), es importante tener en cuenta la deriva por acción del viento, para lo cual existe la clasificación de los tamaños de gota

basada en las especificaciones del Consejo Británico de Protección de Cultivos (BCPC) y de conformidad con la norma S-572.1 de ASABE vigente desde 2009. En la misma se establece que para disminuir la deriva debe pulverizarse con gotas mayores de 250  $\mu$  de Diámetro Volumétrico Medio (DVM).

La relación entre el  $\Delta T$  y la Vida Media de la gota para un determinado DVM, muestra que a mayor  $\Delta T$  menor vida media; dicha relación se hace más crítica a medida que disminuye el DVM. La fórmula desarrollada por Matthews, G.A. (1988), es indicativa para ambientes sin viento.

T2

Tabla 2. Variación de la capacidad de absorción de agua del aire a diferentes relaciones de T (°C) y HR.

T (°C)	HR (%)	gr. agua/kg. aire	gr. agua/kg. aire (a 100% HR)	Absorción potencial (gr. agua/kg. aire)
30	20	5,25	26,46	21,21
	30	7,91		18,55
	40	10,59		15,87
	50	13,31		13,15
	60	15,77		10,69
	70	18,78		7,68
	80	21,11		5,35
	90	23,77		2,69

T (°C)	HR (%)	gr. agua/kg. aire	gr. agua/kg. aire (a 100% HR)	Absorción potencial (gr. agua/kg. aire)	Diferencia de la absorción entre 30 y 20°C (gr. agua/kg. aire)
20	20	2,88	14,67	11,79	-9,42
	30	4,33		10,34	-8,21
	40	5,78		8,89	-6,98
	50	7,25		7,42	-5,73
	60	8,72		5,95	-4,74
	70	10,20		4,47	-3,21
	80	11,69		2,98	-2,37
	90	13,19		1,48	-1,21

T3

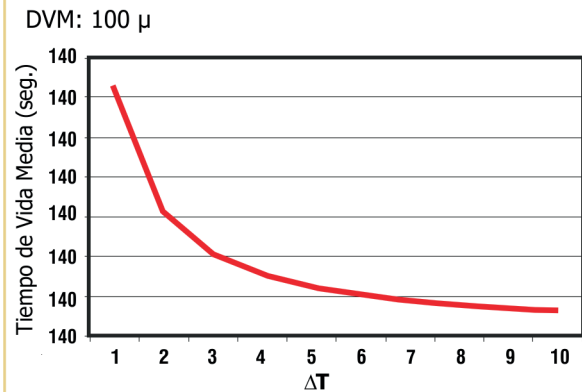
Tabla 3. Vida media de la gota según ambiente meteorológico.

Vida media de la gota según DVM en un ambiente de $\Delta T = 8$				Vida media de la gota según DVM en un ambiente de $\Delta T = 1,5$			
Tamaño de gota ( $\mu$ m)	Temperatura (°C)	Humedad Relativa (%)	Vida Media (en segundos)	Tamaño de gota ( $\mu$ m)	Temperatura (°C)	Humedad Relativa (%)	Vida Media (en segundos)
50	30	45	3,9	50	25	87	20,8
100			15,6	100			83,3
150			35,1	150			187,5
200			62,5	200			333,3
300			140,6	300			750,0



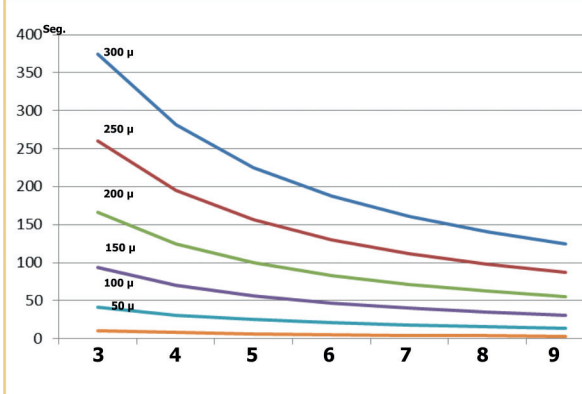
F4

Figura 4. Relación entre Tiempo de vida media de una gota y el  $\Delta T$ .



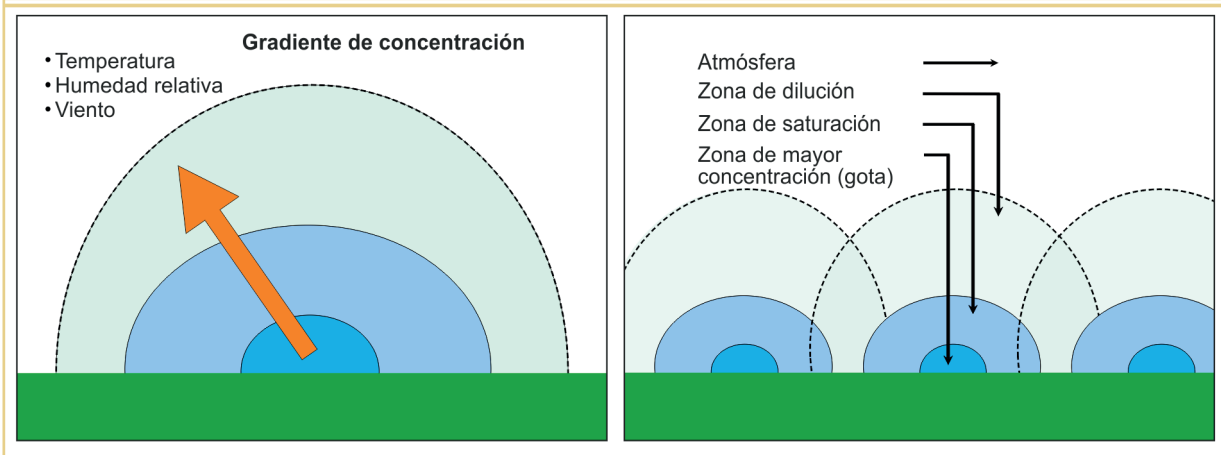
F5

Figura 5. Relación entre vida media de la gota y DVM a diferentes  $\Delta T$ .



F6

Figura 6. Evaporación de la gota sobre la hoja o sobre una superficie sólida.



El viento es un factor determinante para la evaporación del agua de la gota, dado que éste remueve la capa de aire saturado de vapor de agua que rodea a la gota, aumentando el gradiente de humedad entre esta y el aire que la circunda (Figura 6).

Existen estudios en los cuales se ha ponderado la variación del Índice de Evaporación de las gotas en función de la velocidad del viento (Lopez M. *et al.*, 2009) pudiendo establecerse una relación como se muestra en Figura 7.

El efecto del viento sobre la evaporación aumenta con el aumento de la velocidad.

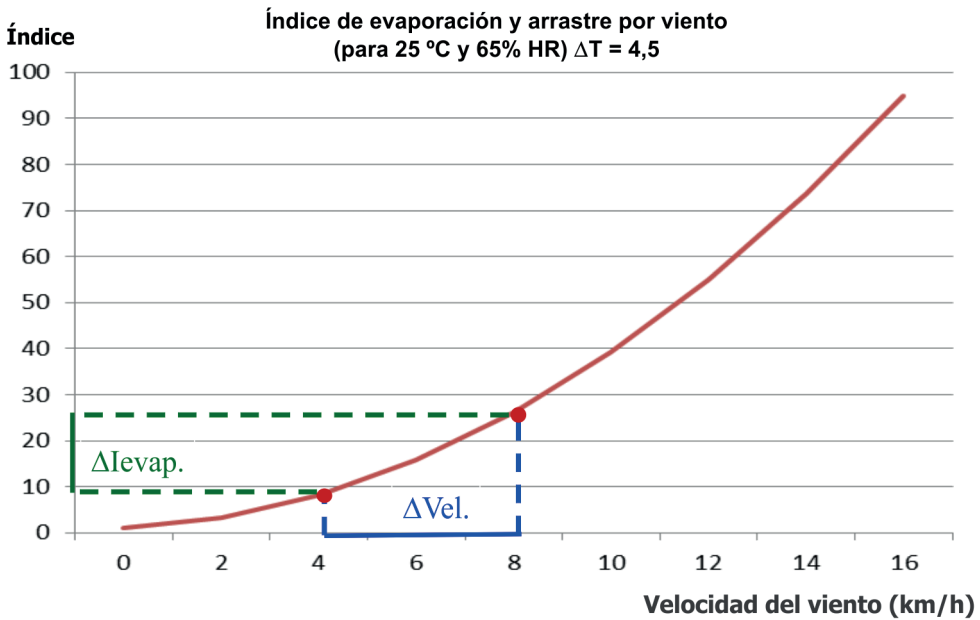
Si integramos estos nuevos valores a las curvas de  $\Delta T$ , para toma de decisiones se pueden obtener nuevos gráficos para diferentes rangos de viento (0-5, 6-10 y 11-15 km/h) como los siguientes (Figura 8). A partir de este estudio, se modificó la magnitud de la constante utilizada por Matthews, G.A. (1988), generando nuevos valores para la misma según la velocidad del viento, tomando rangos entre 1 y 15 km/h, dado que esta última es la máxima aceptada para aplicar dentro de los parámetros de la buena práctica de pulverización (Tabla 4).

Si utilizamos las nuevas constantes se pueden calcular los valores de Vida Media de las gotas, para cada DVM a diferentes  $\Delta T$  (Tabla 5).



F7

Figura 7. Relación entre velocidad de viento e Índice de evaporación de la gota.



Adaptado de: Criterio sobre la formulación matemática para el cálculo de pérdidas por evaporación y arrastre a baja presión. Lopez M. Mujica A y DuarteL. (2009)

T4

Tabla 4. Efecto de la velocidad del viento sobre los valores de la constante (Cte.).

Velocidad del viento (km/h)	Cte.	Velocidad del viento (km/h)	Cte.
0	80,00	8	108,00
1	82,41	9	113,49
2	84,77	10	119,30
3	86,32	11	132,27
4	87,87	12	145,30
5	92,60	13	170,65
6	96,30	14	196,20
7	98,03	15	221,30

Como ya ha sido citado, otros países utilizan desde hace varios años el índice  $\Delta T$  para fiscalizar las pulverizaciones con plaguicidas poniéndole un límite máximo a la condición ambiental meteorológica. Esto significa que las leyes regulatorias de la actividad contienen este indicador como parte de todas las restricciones.

En nuestro país no existe ninguna legislación nacional o provincial que utilice este índice con ese objetivo. En la provincia de Santa Fe, con el surgimiento e incremento de los Convenios de municipalidades y comunas con el Ministerio de la Producción y su área específica de utilización de plaguicidas a través de Ordenanzas locales, se ha comenzado a utilizar el  $\Delta T$  como variable para autorizar pulverizaciones en áreas periurbanas.

Esto sucede en localidades como Godoy, Arequito, Oliveros. En estas y en otras comunas se está difundiendo este indicador a través de capacitaciones específicas de Buenas Prácticas de Pulverización.

Desde 2013 a la actualidad, profesionales de INTA EEA Oliveros (Santa Fe) se han abocado a la investigación en aplicación de plaguicidas en situaciones para control de malezas rastreras en barbecho químico, malezas con crecimiento avanzado o “doble golpe”, control de “orugas defoliadoras” y “chinchas” fitófagas en soja.



Tabla 5. Vida media de la gota en función del DVM, velocidad del viento para  $\Delta T= 4,5$  y  $\Delta T=8$

$\Delta T= 4,5$		Velocidad del viento (km/h)						
Diámetro ( $\mu$ )	0	2	4	6	8	10	12	14
	6,94	6,6	6,3	5,8	5,1	4,7	3,8	1,7
	27,78	26,4	25,3	23,1	20,6	16,6	15,3	6,9
	62,50	59,4	56,9	51,9	46,3	41,9	34,4	15,6
	111,11	105,6	101,1	92,2	82,2	74,4	61,1	27,8
	173,61	164,9	158,0	144,1	128,5	116,3	95,5	43,4
	250,00	237,5	227,5	207,5	185,0	167,5	137,5	62,5
	340,28	323,3	309,7	282,4	251,8	228,0	187,2	85,1
	444,44	422,2	404,4	368,9	328,9	297,8	244,4	111,1

$\Delta T= 8$		Velocidad del viento (km/h)						
Diámetro ( $\mu$ )	0	2	4	6	8	10	12	14
50	3,90	3,7	3,6	3,2	2,9	2,6	2,1	1,0
100	15,60	14,8	14,2	13,0	11,6	10,5	8,6	3,9
150	35,20	33,4	32,0	29,2	26,0	23,6	19,3	8,8
200	62,50	59,4	56,9	51,9	46,3	41,9	34,4	15,6
250	97,70	92,8	88,9	81,1	72,3	65,4	53,7	24,4
300	140,60	133,6	128,0	116,7	104,1	94,2	77,3	35,2
350	191,40	181,8	174,2	158,9	141,6	128,2	105,3	47,9
400	150,00	237,5	227,5	207,5	185,0	167,5	137,5	62,5

Los experimentos han sido realizados en condiciones de campo y con equipos automotrices. En todos ellos se han registrado las variables meteorológicas en el sitio experimental: temperatura ( $^{\circ}\text{C}$ ), humedad relativa (HR %) y velocidad del viento (km/h). Con las variables de temperatura y HR se ha buscado el  $\Delta T$  para describir el ambiente meteorológico de cada tratamiento. En algunos de ellos se trabajó en condiciones meteorológicas extremas y no recomendables, para poder evaluar el efecto de algunas técnicas de pulverización y de coadyuvantes agregados al caldo de pulverización (Massaro *et al*, 2013, 2014, 2016, 2017 y 2018).

En la Tabla 6 se describen las condiciones en que se realizaron los trabajos y el correspondiente  $\Delta T$ . Como se puede observar en esa descripción, el ambiente adverso para las pulverizaciones definido por un  $\Delta T$  superior a 8, fue compensado por el uso de pastillas hidroneumáticas, asistidas por aire o tipo Venturi. Estos componentes de aspersión le dan velocidad a la salida de las gotas por lo que las mismas no quedan suspendidas y expuestas al arrastre por el

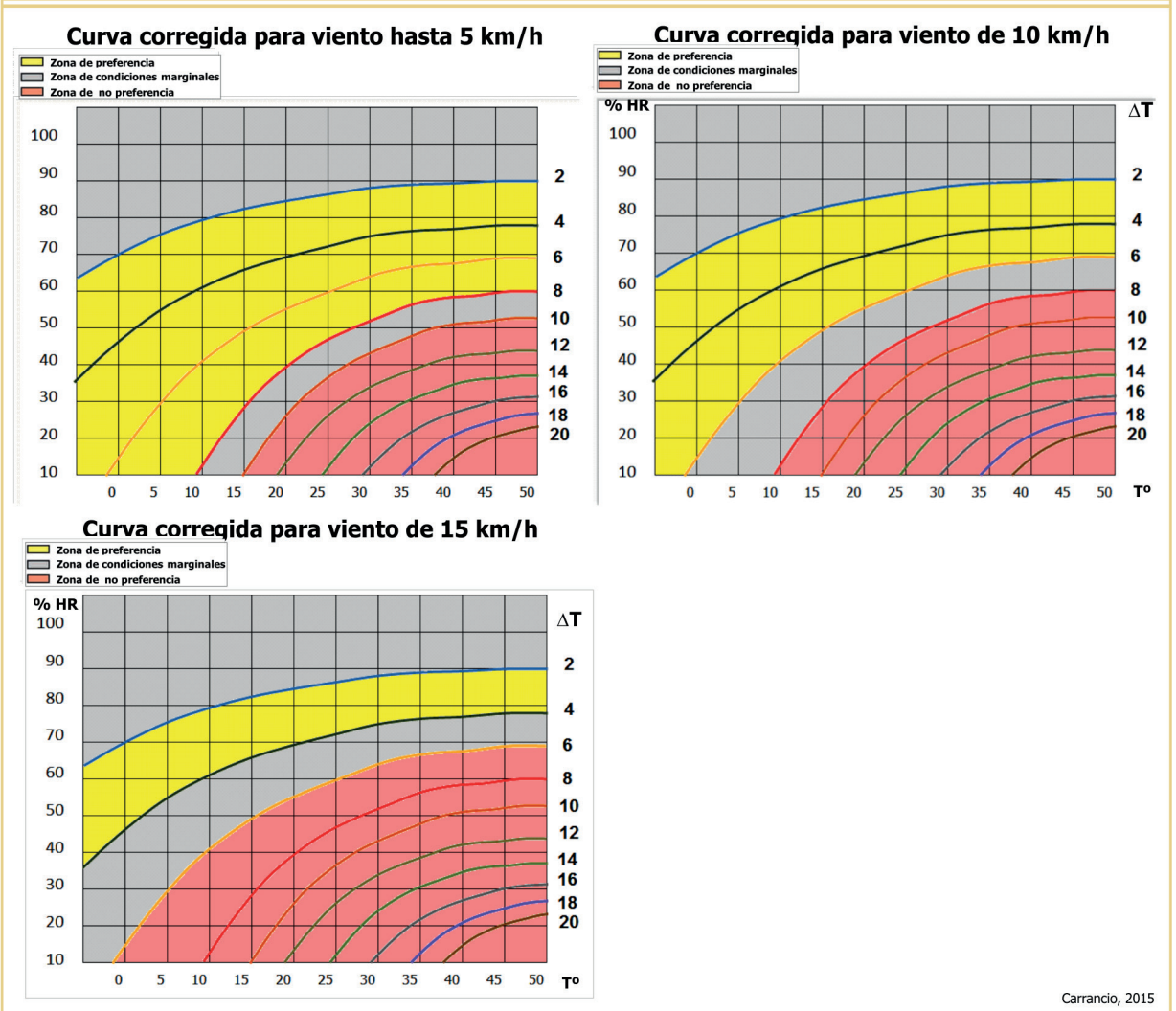
movimiento del aire en un ambiente de alta evaporación. También se utilizaron coadyuvantes reductores de la evaporación del agua (antievaporantes o antide-rrivas) para prolongar la vida media de las gotas en un ambiente adverso, cuando se pulverizó con pastillas hidráulicas.

### Bibliografía

- Agriculture Victoria. 2017. A guide to using agricultural chemicals in Victoria. <http://agriculture.vic.gov.au/agriculture/farm-management/chemical-use/publications/a-guide-to-using-agricultural-chemicals-in-victoria>
- ASABE. 2009. Norma S-572.1.
- Australian Government, 2017. Bureau of Meteorology. <http://www.bom.gov.au/lam/deltat.shtml>
- Australian Government, 2017. Bureau of Meteorology, Weather for Pesticides Spraying. <http://www.bom.gov.au/info/leaflets/Pesticide-Spraying.pdf>
- Carrancio, L.; Massaro, R. y Cardozo, F. 2015. Criterios para el uso de plaguicidas en áreas críticas INTA Oliveros, Artículo Técnico, 4 pág.



Figura 8. Curvas de T según velocidad del viento.



- Graemer Tepper, 2017. Micro-Meteorological Research and Educational Services (MRES).
- Kestrel Instruments. 2017. Preventing Spray Drift. <https://kestrelinstruments.com/blog/preventing-spray-drift/>
- López, M., Mujica, A. y Duarte, L. 2011. Criterio sobre la formulación matemática para el cálculo de pérdidas por evaporación y arrastre a baja presión. Revista Ciencias Técnicas Agropecuarias, Vol. 20,2. Abril-junio.
- Massaro, R. 2013. Aplicación de plaguicidas en áreas críticas. INTA EEA Oliveros, Para Mejorar la Producción 50, Cultivos Estivales.
- Massaro, R.A.; García, A.; Batch, J.; Cejas, E.; Pereyra, D. 2013. Evaluación de la eficacia del Bacillus thuringiensis en el control de Anticarsia gemmatilis en soja, con pulverización antideriva. INTA EEA Oliveros, Para Mejorar la Producción 50, pág. 79-82.

- Massaro, R.A.; García, A.; Magnano, L. 2014. Evaluación de técnicas de pulverización antideriva para el control de malezas en barbecho químico. INTA EEA Oliveros, Revista Para Mejorar la Producción 52. Pág. 147-150.
- Massaro, R.; Kahl, M.; Behr, E. 2014. Aplicación de herbicidas con pastillas antideriva para el control de malezas en barbecho químico. INTA EEA Oliveros, Revista Para Mejorar la Producción 52. Pág. 133-136.
- Massaro, R.A.; García, A. y Kahl, M. 2017. Efecto de dos coadyuvantes en el control de malezas en barbecho químico con dos técnicas de pulverización terrestre. INTA EEA Oliveros, Revista Para Mejorar la Producción 56. Pág. 117-124.
- Massaro, R.A., Kahl, M., Behr, E., Yanguas, M. 2017. 13º Encuentro Nacional de Monitoreo, Libro de Resúmenes, pág. 43.
- Massaro, R.; García, A. y Papa, J.C. 2018. Evaluación del control de Conyza sp. con herbicidas en doble golpe y





Tabla 6. Delta T para diferentes situaciones en ensayos de aplicación de plaguicidas.

Situación de trabajo	Tipo de pastilla	Tamaño de las gotas <sup>(1)</sup>	Cobertura (gotas/cm <sup>2</sup> )	Plaga y Eficacia del control	Velocidad del viento (km/h)	ΔT
Barbecho químico con malezas rastreras	MagnoJet AD/AI 110015	VC	21	"Rama negra" 90.4 %	0-8	6-8.5
	MagnoJet AD/IA 110015	C	31	"Rama negra" 94.2 %	0-12	7.5-8.5
	Teejet TT110003	C	45	"Rama negra" 92.5 %	0-4	9.5-10
Barbecho químico con malezas rastreras	Teejet AI 110025	XC	29	"Rama negra" 100 %	10-14	9.1-9.2
	Teejet AI 110025	VC	35	"Rama negra" 100 %	10-12	8.7
	Hypro AP 11002	F	109	"Rama negra" 100 %	12-14	8.4-8.2
Insecticida en soja desarrollada.	MagnoJet AD/AI 110015	C	Tercio superior=39 Tercio medio=25	"Oruga anticarsia" 87/44 %	2-12	9.5
	MagnoJet Cono lleno CH 100-1	M	Tercio superior=92 Tercio medio=48	"Oruga anticarsia" 86/93 %	2-12	9.5
Insecticida en soja desarrollada.	MagnoJet Cono lleno CH 100-1 sin coadyuvante.	M	Tercio superior=88 Suelo entre tallos=17	"Complejo de chinches ninfas grandes y adultos" = 66 %	2-12	8.5
	MagnoJet Cono lleno CH 100-1 con coadyuvante.	M	Tercio superior=107 Suelo entre tallos=24	"Complejo de chinches ninfas grandes y adultos" =83 %	2-12	8.5

(1) Norma ASABE S-572.1

con diferentes técnicas de pulverización terrestre. II Congreso Argentino de Malezas (ASACIM). Ciencia, producción y sociedad: hacia un manejo sustentable, Rosario, 5 y 6 de junio de 2018. Actas, Pág. 84.

• Matthews, G.A. 1988. Métodos para la Aplicación de Pesticidas. México, C.E.C.S.A.

• Peter Hughes, 2008. Spray drift fact sheet. Queensland Department of Primary Industries and Fisheries. [http://cottonaustralia.com.au/uploads/resources/Spray\\_Drift\\_Fact\\_Sheet%2C\\_GRDC.pdf](http://cottonaustralia.com.au/uploads/resources/Spray_Drift_Fact_Sheet%2C_GRDC.pdf)